

Paul Korenides

JP

VII грунта

1963

$S, S_2, S_3$

$H_2S, H_2S_2$

$H_2S_3$

B.G. Hobrock, R.W. Kiner

J. Phys. Chem. 67, 1283 (1963)

Исследование соединений серы  
методами газохроматографии



1963

S(2ag)

Mackle H., O'Hare P. A. G.

ΔH f

Tetrahedron 19(6), 961 (1963)

Thermochemistry of sulfur-containing molecules and radicals. I. Heats of combustion and formation.

C.A. 1963. 59.8  
8189e

(cont.  $\text{SO}_2$ ) I

g (Krus.)

McBride B.J. u.g. (NASA) 1963

SP-3001, Washington, 1963.

$\Delta H_f^{\circ}$ <sub>298</sub>       $\Delta T_f^{\circ}$

CO<sub>3</sub>

-32,8 -32,8306

C<sub>8</sub>

54,6692 53,8932

C<sub>8,2</sub>

27,980 27,7900

{ g (Krus.)

66,4408 65,9034

S<sub>2</sub>

30,84 30,8068

S<sub>0</sub>

1,3112 1,3149

S<sub>0,2</sub>

-70,947 -70,3398

S<sub>0,3</sub>

-94,47 -93,1000

18

T°K	CP	$H_f - H_0$	S	<u>Cepa</u>	$\Delta H_m$
100	3,060	164,7			$388,357$
200	4,639	557,3			$= 2073,0$
298,15	5,401	1053,7			$- \frac{1662,5}{410,5}$
300	5,412	1063,7	7,713		
388,357	6,053	1662,5			
388,357	7,579	2073,0			$\Delta H_m = 410,5 \text{ KJ/Kmol}$
400	7,731	2162,1			
500	9,079	3100,0			
600	8,200				
700	7,801				
800	7,694				
2500	7,694				

1963

8(сера)

6 Б436. О плавлении серы при низких температурах. Мальцев А. К. «Ж. неорган. химии», 1963, 8, № 7, 1559—1562

Исследованы яркоокрашенные осадки, возникающие при конденсации паров серы на поверхности, охлаждающей жидким азотом (РЖХим, 1954, № 1, 10401; 1955, № 1, 334), для обозначения которых предложен термин «низкотемпературный конденсат серы (НКС)». При быстром нагревании от  $-196^{\circ}$  до комнатной температуры слоя НКС, полученного из паров серы с температурой  $<280^{\circ}$ , обнаружено, что этот вид НКС обладает способностью плавиться при  $\sim -60^{\circ}$  и повышенной летучестью. Образовавшаяся в результате плавления темно-желтая жидкость сера быстро превращалась в мягкий порошок. Предложена гипотеза, объясняющая свойства НКС при

БИР-1610-111

см. кнб.

Х. 1964. 6

существием в конденсате цепочечных молекул серы, не являющихся бирадикалами. Реферат автора

1963

Bp-II-1610

S

T<sub>m</sub>

Melting sulfur at low temperatures. A. K. Mal'tsev (D.)

Mendeleev Chem.-Technol. Inst., Moscow). Zh. Neorgan. Khim. 8(7), 1559-62(1963); cf. CA 55, 21711e; 56, 13745g. S vapor condensed at  $10^{-5}$  mm. Hg on a quartz tube filled with liquid N formed a film 0.2-0.5 mm. thick in 15-20 min. Removing the N and filling the tube with warm H<sub>2</sub>O melted the S at -60°. This modification of S, melting at -60°, was obtained when the films condensed from vapor below 280°. These films exhibited a high volatility. Possibly, these films consisted of a vitrified matrix of polymer chains S<sub>x</sub> and rings of S<sub>8</sub>, where x is 2-8.

GBJR

Bp - 1610 - 11

C.A. 1963

59.8

8335c

8  
нам. чубу.  
20 Б396. Применение количественной термографии  
при низких температурах. М а л ь ц е в А. К. «Тр. Моск.  
хим.-технол. ин-та им. Д. И. Менделеева», 1963, вып. 44,  
24—34

1963

(1)

- 1

7023

- II

7023

- I

7023

- II

7023

Предложен новый метод колич. термографии, назван-  
ный методом электрич. эталона. Сущность метода заклю-  
чается в том, что во время записи через нагреватель,  
вмонтированный в тигель с изучаемым в-вом, пропуска-  
ют электрич. ток и площади пика исследуемого тепло-  
вого эффекта и пика, вызванного пропусканием опреде-  
ленного кол-ва электричества, сравнивают на одной тер-  
мограмме. Проведена эксперим. проверка метода  
электрич. эталона, показавшая его удовлетворительную  
применимость для определения тепловых эффектов при  
низких т-рах. Определена величина экзотермич. эффекта  
при  $-55^{\circ}$ , сопровождающего превращение низкотемпера-  
турного конденсата серы, равная  $9,3 \pm 0,5$  кал/г.

Я. Шенккин



2. 1964. 20

1963  
7023  
- II  
7023

1963

S

Moser H., Otto J. Thomas W.

1624 - II

Z. Phys., 1963, 175, n 3, 327-36

Th

190 - 090

газометрическое  
измерение при высоких  
темпер-рах. III. Определение  
испаряемости. темп-р в  
пер-и  макс моркаса эваку-  
ации 419 и  $1065^{\circ}\text{C}$ .

x. 1964. 18

(см. Zn) I.

1392-7024-VII

1963

S  
P.

Thermodynamics of sulfur vapor measurements by an electro-  
chemical Knudsen cell. Neil Birks and Hans Rickert (Max-  
Planck-Inst., Goettingen, Ger.). *Ber. Bunsenges. Physik.  
Chem.* 67, 97-8(1963). A Knudsen cell is used to measure the  
partial pressure of S vapor. The measured values agree well  
with those obtained by other methods. Walter Oppenheimer

C.A. 1963.58.11

10746 f

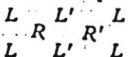
1963

S(сера)

волокнистая

17 Б224. О структуре волокнистой серы. Prins J. A.,  
 Tuinstra F. Note on the structure of fibrous sulfur:  
 «Physica», 1963, 29, № 8, 884 (англ.)

Подтверждается правильность основных особенностей структуры волокнистой серы S  $\phi$ , расшифрованной авторами ранее (РЖХим, 1964, 13Б229). Однако в отношении S-цепочек с правым и левым винтовым вращением, которые существуют в структуре, предлагается несколько иной закон чередования по сравнению с описанным прежде. Новый закон приводит к более логичным контактам между цепями с одноименным вращением и выглядит следующим образом:



и т. д. А. Воронков

х-1964-17

1963

13 Б229. Некоторые новые данные о структуре волокнистой серы. Prins J. A., Tuinstra F. Some new data on the structure of fibrous sulfur. «Physica», 1963, 29, № 4, 328—330 (англ.)

Предложены 2 метода получения образцов  $S_{\Psi}$  (не растворимая в  $CS_2$  часть пластич.  $S$ ), дающих значительно улучшенные рентгенограммы: 1) растягивание волокон с одновременным промыванием (при сушке волокна должны оставаться растянутыми), 2) нагревание волокон при  $80^{\circ}$  в течение 40 час. Величина параметра решетки, вычисленная из первой слоевой линии, 13,0 Å; третья и четвертая слоевые линии дают 13,8 Å. Последнее показывает, что истинный период во много раз больше ( $>78$  Å). Индицирование рефлексов и распределение их интенсивностей хорошо согласуются с монокл. моделью ( $\beta = 114^{\circ}$ ), представляющей собой искаженную гексагон. плотную упаковку. Искажение упаковки авторы связывают с чередованием левых и правых спиралей, выделяющихся в структуре.

П. Зоркий

8-  
— волокнистый

(структура)

Х. 1964. 13

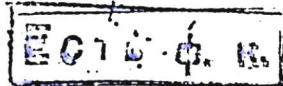
PP XII 737  
PP-X-2376 3 (P) 1963

Zego G.C.

Nucleonics, 1963, 21(8), 158

vapor pressures of Rankine cycle fluids

5



ca. 65

1963

5

12 Е97. Температура стеклования полимерной серы:  
Tobolsky A. V., MacKnight W., Beevers R. B.,  
Gupta V. D. The glass transition temperature of poly-  
meric sulphur. «Polymer», 1963, 4, № 4, 423—427 (англ.)

С помощью температурной зависимости механич. модуля и уд. объема найдены т-ры стекл. двух модификаций серы: чистой полимерной и быстро охлажденной от 200° С упругой серы, представляющей смесь полимерной серы и восьмичленных циклов. Эти модификации находились соответственно в полукристаллич. и аморфном состояниях и имели т-ру стекл. 75 и —30° С.  
Библ. 12 назв.

Ю. Шаронов

9. 1965. 12 8

S(m)

1963

6 Б522. Физико-химические свойства серы. I. Влияние давления на вязкость жидкой серы. Doi Tsunepi-  
suke. Physico-chemical properties of sulfur. I. Pressure effects on viscosity of liquid sulfur. «Rev. Phys. Chem. Japan», 1963, 33, № 2, 41—52 (англ.)

РЖХ, 1966,

II-1618

S (чоков и комплекс)

28

1963

Васильев Б.Н., Васильева В.Н.

Он. физ. хими, 1963, 37, №5, 1039-1094

Электронные защищенные комплексы в газовой фазе.

РХ хим., 1964,

№ 36403

Есть оригинал.

S

196

15 В12. Получение в лабораторных масштабах серы, нерастворимой в сероуглероде. Andr uski Ryszard, Leszczyńska Halina. Otrzymywanie w skali laboratoryjnej siarki nierozpuszczalnej w dwusiarczku węgla. «Przem. chem.», 1964, 43, № 12, 688—691 (польск.; рез. русск., англ.)

Установлены оптимальные условия превращения  $S_{\lambda} \rightarrow S_{\mu}$ : время нагревания 60 мин., т-ра 210—220°, стабилизатор — бром (1 вес. %), охлаждение серы путем слияния по каплям или струйкой в текущую воду. При этом получаются гранулы диам. 1—4 мм с 38,5% нерастворимой серы при общем ее содержании 98,7%. Время обратного превращения  $S_{\mu}$  120 месяцев. В. Каплан

x·1965·15

1964

S

*процессы  
испарения*

P

8 E347. Процессы, связанные с испарением серы.  
 Berkowitz J., Chupka W. A. Vaporization processes involving sulfur. «J. Chem. Phys.», 1964, 40, № 2, 287—295 (англ.)

С помощью масс-спектрометра показано, что при свободном испарении ромбич. S в парах присутствуют исключительно молекулы  $S_8$ , в то время как сублимация ее аллотропич. модификации приводит к появлению в парах только молекул  $S_6$ . Показано, что  $Al_2O_3$  является катализатором при испарении любой модификации S. Измерены коэф. испарения молекул  $S_6$  и  $S_7$  с поверхности ромбич. S, а также описано поведение других аллотропич. форм ( $S_{\pi}$ ,  $S_{\mu}$ ). Масс-спектры молекул  $S_6$  и  $S_8$  определены непосредственно при различных т-рах, а спектр  $S_7$  получен из смеси паров  $S_6$ ,  $S_7$ ,  $S_8$ . Для выяснения механизма катализа использован парамагн. резонанс.

502

1964

Ф. 1964. 83

S (part.)

12061 VAPORIZATION PROCESSES INVOLVING SULFUR. J. Berkowitz and W. A. Chupka (Argonne National Lab., Ill.). J. Chem. Phys., 40: 287-95 (Jan. 15, 1964).

Free evaporation of rhombic sulfur is shown to give rise solely to  $S_6$  vapor molecules, whereas the sublimation of an allotropic form (Engel's sulfur) produces only  $S_8$  vapor molecules. The vapor composition characteristic of equilibrium can be produced by mixing any allotropic form of sulfur with commercial  $Al_2O_3$ , which evidently catalyzes the transformation among sulfur species. The evaporation coefficients of  $S_6$  and  $S_7$  molecules from a rhombic sulfur surface were measured. The behavior of other allotropes ( $S_4, S_8$ ) is described as observed by mass spectrometry. Mass spectra of  $S_6$  and  $S_8$  molecules were determined directly as a function of temperature and that of  $S_7$  deduced from a vapor mixture of  $S_6$ ,  $S_7$ , and  $S_8$ . Ionization efficiency curves and appearance potentials of the major ionic species are reported. Paramagnetic resonance measurements were used to help elucidate the mechanism of catalysis. (auth)

196  
B6p-5022-11

MSA-1964-18-8

1964

19 Б235. Структура ромбоэдрической серы. Допо-  
юще J. Goodman S. H. The structure of rhombohed-  
ral sulfur. «J. Phys. Chem.», 1964, 68, № 8, 2363—2364  
(англ.)

Подвергнута критике статья Соклакова А. И., где на основе рентгенограммы порошка принята для ромбоэдрич. S структура, построенная из спиральных зигзагообразных цепей, а не из молекул  $S_6$  (РЖХим, 1962, 7Б171). При этом приводятся следующие доводы. Исследованные образцы получены в условиях (80—100°), при которых ромбоэдрич. модификация не может существовать. Порошкограмма полученных образцов отличается от ранее приводившейся дифракционной картины ромбоэдрич. серы. Индицирование порошкограммы выполнено, надежно и противоречит закону погасаний рефлексов данной федоровской группы. Приведенное значение  $R(h, k, l) = 0,19$  при пересчете оказывается равным 0,40. Предполагается, что исследованные образцы относились не к ромбоэдрич., а к ромбич. модификации S.

А. Воронков

структура

Х. 1965.10

1964

*S*  
*Allotropes*  
Allotropy of sulfur. Olavi Erametsa. *Teknillisen Kemian Aikakausilehti* 21(18-19), 755-62(1964)(Finnish); cf. CA 60, 8870b. The history of the allotropy of S is discussed and the presently known allotropes of S presented. O. Kaustinen

C.A. 1965. 62. II  
12450 ab

S

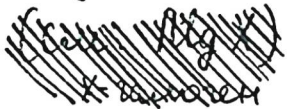
(coemus  
napa)

Marguert J.R.

1964

Diss. Abstr., 24, (12), 5027

Vapor composition of the mag.  
nesium halides, sulfur, and  
some transition metal chlo-  
rides and oxychlorides.



Meijer B.

1964

Chem. Rev., 1964, 64, N<sup>o</sup> 4, 429

Астрохромные Глебы сепар.

Обзор. Биол. 322 наука

1964

12

3815

$\text{PSCl}_3$ ;  $\text{Do(P-S)}$ ; S (HF)

Mole M.F., McCoubrey J.C.  
Nature, 1964, 202, (4951), 450-1

Enthalpy of formation of ...

J,II

3

126

1964

3740

Ar, N, CH<sub>4</sub>, Cl, Br, S (p, Hv, Tc)

Seihun Chang, H.Pak, Woon-Kie Paik,  
Sunghye Park, Mu Shik John, Woon  
Sun Ahn

Doehan Hwahak Hwoejee, 1964, 8(1),  
33-8

Modified theory of ...

Be,Mx

77  
14

3

S

Tm.

89-17445 1964

Measurement of the fusion temperature of sulfur by differential-thermal analysis under pressure between 20 and 60 kilobars. Christiane Susse, Raymond Epain, and Boris Vodar (C.N.R.S., Bellevue, France). *Compt. Rend.* 258(18), 4513-16(1964). The fusion temp. of S vs. pressure has an inflection point between 20 and 30 kilobars. From this point to 60 kilobars the fusion temp. rises smoothly with increase in pressure. James O. Wear

B4P - 5680 - 16

C.A. 1964 61 15 49764

1964

Темп - при  
плавлении -  
кисл.

8 сера

Всп - 5680-111

VI E144. Измерение температуры плавления серы методом дифференциального термического анализа под давлением 20—60 кбар. Susse Christiane, Eraip Raymond, Vodar Boris. Mesure de la température de fusion du soufre par analyse thermique différentielle sous pression entre 20 et 60 kbars. «C. r. Acad. sci.», 1964, 258, № 18, 4513—4516 (франц.)

В аппарате высокого давления с поршнем типа «Belt» с помощью дифференц. термич. анализа измерена зависимость т-ры плавления от давл. (20—60 кбар). Рабочая среда — пирофилит, аппарат эталонирован по изменению электрич. сопротивления Bi, Tl, Ce и Ba. Нагрев рабочей зоны осуществлен с помощью цилиндрич. графитового нагревателя. Образец S (0,001% Se), предварительно перегретый выше т-ры плавления в Аг и залитый в Pt-капсулу, помещался в аппарат между прокладками BN. Т-ра измерялась с помощью Pt/Rh—Pt-термопары. В интервале 20—60 кбар на кривой  $T_{\text{пл}} = f(p)$  перегибов не обнаружено, однако полученные результаты могут быть увязаны с данными для давл. 1—3 кбар лишь при допущении существования между давл. 3—25 кбар точки перегиба (возможно тройной точки). Л. Шведов

9.1965.18

89-II-1858 1964

S.

23 Б538. Доказательство существования точки перехода  $\beta \rightleftharpoons \gamma$  в сере, определенной путем измерения растворимости при низких температурах с использованием изотопа S<sup>35</sup>, и ее отношение к теории реакций на поверхности раздела твердых фаз. Thackray M. Evidence for the beta — gamma transition point in sulphur from low — temperature solubility measurements using sulphur-35 and its relevance to the theory of interface reactions in solids. «Nature» (Engl.), 1964, 201, № 4920, 674—675 (англ.)

Ttr

II

5030

1

1200

Путем определения растворимости в органич. р-рителях при низких т-рах  $\alpha$ -,  $\beta$ - и  $\gamma$ -S (при использовании изотопа S<sup>35</sup>) определена точка перехода  $\beta \rightleftharpoons \gamma$  — 88,5°. Высокая величина энергии активации перехода  $\gamma \rightarrow \beta$  при 40° по сравнению с переходами  $\gamma \rightarrow \alpha$  и  $\beta \rightarrow \alpha$  объяснена возникновением на поверхности раздела сжимающих напряжений, тормозящих протекание р-ций, в отличие от растягивающих напряжений, возникающих при двух

Р. 1964. № 23

других переходах. В ходе исследования зафиксирована новая кристаллич. модификация S<sub>1</sub> (δ?), которая кристаллизуется из расплава при т-ре ниже -20°.

Л. Шведов

ах

S

ХII-791-89

1964

У 12 Б589. Уравнения давления паров, температуры плавления различных аллотропических модификаций серы и температура превращения  $\alpha \rightarrow \gamma$ . Thackray M.  
*Vapour pressure equations and melting points of allotropes of sulphur and the  $\alpha$ - $\gamma$  transition point.* «Nature» (Engl.), 1964, 203, № 4951, 1278—1279 (англ.).

По наклону кривой давления паров S в зависимости от  $1/T$  определены т-ры плавления различных аллотропич. модификаций S и получены новые ур-ния зависимости давления ее паров от т-ры. Т-ра превращения  $\alpha$ - $\gamma$  составляет  $\sim 167^\circ$  и  $\gamma$ -фаза метастабильна относительно  $\alpha$ -фазы в пределах всей области твердого состояния. При т-ре плавления  $\gamma$ -фазы  $110^\circ$ , т-ра превращения  $\alpha$ - $\gamma$  будет близка к т-ре плавления  $\beta$ -фазы. Средние значения теплот (кал/моль) превращения составляют: для  $\beta \rightarrow \alpha$  — 790; для  $\gamma \rightarrow \alpha$  — 679 и для  $\gamma \rightarrow \beta$  +111. Т-ра плавления  $\alpha$ -S составляет  $114,7^\circ$ . Б. Туровский

T<sub>tz</sub>

Вид - 1864-11

+1

Х. 1965. 12



(8)

NI- 791-B.P

1964

Vapor pressure equations and melting points of allotropes of sulfur and the  $\alpha$ - $\gamma$  transition point. M. Thackray. *Nature* 203(4951), 1278-9(1964). The position of the  $\alpha$ - $\gamma$  transition point for S was calcd. by using the slopes of the vapor pressure curves related to one fixed datum point, which was the pressure of S vapor at 95.5°. The  $\alpha \rightarrow \gamma$  transition point is  $\sim 167^\circ$ , and  $\gamma$  is metastable with respect to  $\alpha$  over the entire solid region. The  $\alpha$ -S m.p. is 114.7° and not the usually quoted 112.8°. The heats of transition are:  $\beta \rightarrow \alpha \Delta H = -790$  cal./mole,  $\gamma \rightarrow \alpha \Delta H = -679$  cal./mole, and  $\gamma \rightarrow \beta \Delta H = +111$  cal./mole.

D. V. Anders

C.A. 1964. 61. 13  
15381g

1392-1964-11

5

1964

12 В2. Полимерная сера и другие полисульфидные полимеры. Tobolsky Arthur V. Polymeric sulfur and other polysulfide polymers. «Amer. Scientist», 1964, 52, № 3, 358—364 (англ.)

Обзор работ автора, количественно объясняющих зависимость вязкости расплавленной серы от т-ры равновесиями между циклич. молекулами  $S_8$  и линейными бирадикалами  $\cdot S_{8n} \cdot$ , где  $n$  — целое число, затвердевание эластичной серы и свойства полисульфидных полимеров, образующихся при р-циях 1,2-дихлорэтана с водн. р-рами полисульфидов натрия. Полисульфидные полимеры пластифицируются действием S. Библ. 13 назв.

И. Рысс

26.1965.12

1964

5

Чеснокова З. М. и др.

М. Невр. хим. I (7), 1547-51

Расселение Se, Te и S в козлонаках

I (Te кр.)

A. (S, F, Cl, Br, Y)

XТ2485 1965

Баудиссетс У.Н., Пасов Н.Н.

Ре. физ. химии, 1965, №1, 157

Абсолютные величины термодинамического сродства атомов галогенов к серебру.

Ре. физ. химии, 1965, бд16

Есть оригинал

12/26/1965  
Ф

S

89-NI-689

1965

11 Е247. Сера: новая фаза высокого давления. В. А.  
Л. к. Т. г. у. г. г. в.е. Sulfur: a new high-pressure form. «Sci-  
ence», 1965, 148, № 3674, 1220—1221 (англ.)

Порошковые образцы ромбич. S подвергали воздей-  
ствию давлений от 20 до 83 кбар и т-р от 20 до 400° С.  
С помощью рентгенографич. исследования при комната-  
ной т-ре и атмосферном давлении образцов, закаленных  
из области высоких давлений и т-р, обнаружен переход  
ромбич. S в кубическую с периодом решетки  $a =$   
 $= 13,66 \text{ \AA}$  и 104 атомами в элементарной ячейке. По-  
строена  $P-T$ -диаграмма S. При  $28 \pm 4 \text{ кбар}$  и  $300 \pm$   
 $\pm 5^\circ \text{ С}$  расположена тройная точка: жидккая фаза + ром-  
бич. S + кубич. S. При  $30^\circ \text{ С}$  и 1 атм измерена плотность  
новой фазы ( $\rho = 2,18—2,19 \text{ г/см}^3$ ) и рассчитана тепло-  
та перехода ( $Q = 49 \pm 5 \text{ кал/г}$ ). Т. Ершова

90.

1965. E. II

S

89-XII-489

1965

17 Б626. Сера. Новая форма, существующая при высоких давлениях. Bååk Trugge. Sulfur: a new high-pressure form. «Science», 1965, 148, № 3674, 1220—1221 (англ.)

Образцы ромбич. серы (порошок) в оболочке из Pt прессовались при давл. 25—83 кбар и т-рах 25—400°. В закаленных из твердофазных областей рентгеновским исследованием установлена кубич. фаза с параметром  $a$  13,66 Å и плотностью  $\sim 2,18$  г/см<sup>3</sup>. Построена область высоких давл. фазовой диаграммы серы. Тройная точка, где в равновесии находятся кубич., ромбич. и жидк. фазы лежит при давл. 28+4 кбар и т-ре  $300 \pm 5^\circ$ . Д. А.

РЖХ, 1966,

Cosmab vapor

XII-584

1865

S.

Molecular composition of sulfur vapor. J. Berkowitz (Argonne Natl. Lab., Lemont, Ill.). *Elem. Sulfur, Chem. Phys.*, 1965, 125-59(Eng). A review with 43 references.

Peter C. Szap

C.A. 1966. 65.7  
9767f

1965

22 Б489. Свойства элементов VI B группы при высоких давлениях. I. Кривые плавления S, Se и Te. Deaton B. C., Blum F. A., Jr. Properties of group VI B elements under pressure. I. Melting curves of S, Se, and Te. «Phys. Rev.», 1965, 137, № 4A, 1131—1138 (англ.)

С помощью модифицированного метода термич. анализа построены кривые плавления S, Se и Te при давлениях ( $P$ ) до 45 кбар. Т-ра плавления S повышается почти линейно от  $114^\circ$  при атмосферном давлении до  $\sim 700^\circ$  при  $P=45$  кбар. Ромбич. модификация S после расплавления под давлением отвердевая переходит в аморфную пластичную форму, сохраняющуюся в метастабильном состоянии при атмосферном давлении. При увеличении  $P$  от атмосферного до 40 кбар т-ра плавления Se повышается от 220 до  $650^\circ$ . Особенностью кривой плавления Te является наличие максимума около точки  $480^\circ$  и 10 кбар. Максимум кривой плавления Te интерпретирован с точки зрения координации в жидком состоянии и структурного перехода в жидкости статистич. характера, при котором появляются две фазы металлич.

*Кривые  
плавления*

+2

Х. 1965. 22

и полупроводникового типа. Высказано предположение, что кривые плавления S и Se также могут иметь максимумы. Сопоставляются наклоны кривых плавления некоторых элементов при атмосферном давлении с изменениями их электросопротивления в процессе плавления. Обсуждается взаимосвязь между знаком наклона кривых плавления ( $m_0$ ) и изменением ближнего порядка при плавлении элементов. Полуметаллы, имеющие  $m_0 < 0$ , претерпевают резкие изменения в ближнем порядке при плавлении, тогда как металлы, для которых  $m_0 > 0$ , обнаруживают неизменяемость ближнего порядка.

Г. Пересада

ой  
аще

S

8 E232. Свойства элементов VI B группы под давлением. I. Кривые плавления S, Se и Te. Deaton B. C., Blum F. A., Jr. Properties of group VI B elements under pressure. I. Melting curves of S, Se, and Te. «Phys. Rev.», 1965, 137, № 4A, 1131—1138 (англ.)

Кривые плавления

Построены кривые плавления S, Se и Te при давлениях ( $P$ ) до 45 кбар. Т-ра плавления S повышается почти линейно от 114 при  $P=0$  до  $\sim 700^\circ\text{C}$  при  $P=45$  кбар. При увеличении  $P$  от 0 до 40 кбар т-ра плавления Se повышается от 220 до  $650^\circ\text{C}$ . Особенностью кривой плавления Te является наличие максимума около точки  $480^\circ\text{C}$ , 10 кбар. Существование максимума объясняется структурными изменениями в расплаве Te при повышении т-ры, которые носят статистич. характер и проявляются в изменении электропроводности жидкого Te. Предполагается, что кривые плавления S и Se также могут иметь максимумы. Сопоставляются наклоны кривых плавления некоторых элементов при  $P=0$  с изменениями их электросопротивления в процессе плавления. Обсуждается взаимосвязь между знаком наклона кривых плавления и изменением ближнего порядка при плавлении элементов.

Ф. 1965. 88

⊗

8

1965

Properties of Group VIB elements under pressure. I.  
Melting curves of S, Se, and Te. ~~B. C. Deaton and F. A.~~  
~~Blum, Jr. (Gen. Dyn./Fort Worth, Fort Worth, Tex.). Phys.~~  
~~Rev. 137(4A), 1131-8(1965)(Eng).~~ The melting curves of S, Se,  
and Te were detd. to 45 kilobar by differential thermal-cond.  
analysis in a tetrahedral anvil app. The data for S show that the  
m.p. increases approx. linearly from  $114^\circ$  at atm. pressure to  
 $\sim 700^\circ$  at 45 kilobar. Rhombic S melted under pressure cryst.  
upon solidification in the amorphous plastic form, which can be  
retained metastably at atm. pressure. The Se melting curve  
is slightly concave toward the pressure axis and rises from  $220^\circ$   
at atm. pressure to  $650^\circ$  at 40 kilobar. A max. in the melting  
curve of Te is observed at  $\sim 10$  kilobar and  $480^\circ$ . These exptl.  
results are discussed in relation to the current ideas on the general  
nature of melting curves. The max. in the melting curve of Te  
is explained in terms of coordination in the liquid state and the  
existence of a liquid-state structural change of a statistical nature,  
which appears to divide the liquid into a metallic and a semi-  
conducting phase. It is predicted that Se, and, perhaps, S  
also have max. in their melting curves. The normalized change

Kumbra  
nucleus.

XII-565

C. A. 1965. 62. 7  
71419h - 7142a

in resistivity upon melting ( $\Delta\rho/\rho$ ) is correlated with the atm.-pressure melting-curve slopes  $m_0$  for a no. of elements. A plot of  $m_0$  vs. ( $\Delta\rho/\rho$ ) shows that the data for the elements considered, except the alkali metals and the Group VIB elements, very roughly define a linear relation. The sign of  $m_0$  and ( $\Delta\rho/\rho$ ) is the same for all elements considered except S, Se, and Te. A general relation between the change upon melting in the short-range order of the at. distribution and the sign of  $m_0$  is discussed. The semimetals, for which  $m_0 < 0$ , undergo striking changes in short-range order, whereas the metals for which  $m_0 > 0$ , exhibit a continuity of short-range order.

RCPJ

1965

16 Б450. Физико-химические свойства серы. II. Действие различных типов реагентов на вязкость жидкой серы. Doi Tsunesuke. Physico-chemical properties of sulfur. II. Effects of different types of reagent on viscosities of liquid sulfur. «Rev. Phys. Chem. Japan», 1965, 35, № 1, 1—10 (англ.)

б-83 № 07

С помощью вискозиметра Оствальда в интервалах температуры 120—210° исследовано изменение вязкости жидк. S при добавлении в нее различных реагентов. По характеру полученных изменений все реагенты разделены на 3 группы. Реагенты 1-й группы образуют соединения, вязкость которых при нормальных условиях остается неизменной после многократных циклов нагрева и охлаждения. При увеличении конц-ии реагента 1-й группы темп., соотв-ая

Х. 1966

16

мин. вязкости соединения, сначала уменьшается, а затем возрастает. Реагенты 2-й группы также образуют соединения с воспроизводимой вязкостью, но при увеличении их конц-ии т-ра мин. вязкости соединения непрерывно возрастает. Реагенты 3-й группы образуют соединения, вязкость к-рых при нормальных условиях зависит от темпов предшествующих циклов нагрева и охлаждения. Приводится анализ полученных результатов путем рассмотрения возможных хим. р-ций S с реагентами. Сообщ. I см. РЖХим, 1966, 6Б522.

С. Улыбин

168

16 Б451. Физико-химические свойства серы. III. Растворенное состояние полимеров серы в жидкой сере.  
Doi Tsunesuke. Physico-chemical properties of sulfur. III. Dissolved state of sulfur polymers in liquid sulfur. «Rev. Phys. Chem. Japan», 1965, 35, № I, 11—17  
(англ.)

Отсутствие экспер. данных по мол. весам полимеров не позволяет определить для них показатель экспоненты в соотношении вязкость — плотность (или степень полимеризации) обычными методами. Описан приближенный метод расчета этого показателя с использованием имеющихся ограниченных данных. Найдено, что в интервале т-ры 120—150° С значение показателя находится между 0,4—0,7 и оно постепенно возрастает с увеличением т-ры. Эти результаты хорошо согласуются с опытными изменениями для др. полимеров, на основании чего делается вывод о надежности предлагаемого метода расчета.

Сообщ. II см. реф. 16Б450.

С. Улыбин

X · 1966 · 16

S

XII-541

1965

Physicochemical properties of sulfur. IV. Critical polymerization temperatures and polymerization equilibrium constants of sulfur. Tsunesuke Doi (Asahi Chem. Ind. Co., Ltd., Tokyo). *Rev. Phys. Chem. Japan* 35(1), 18-24(1965)(Eng); cf. preceding abstr. Naphthalene, *p*-C<sub>6</sub>H<sub>4</sub>Cl<sub>2</sub>, and diphenyl were added to S as diluents in concns.  $\leq 15\%$  and the resulting crit. transition temps. of polymerization were detd. by viscometry (preceding abstr.). The corresponding equil. consts. were calcd. according to the theory of Tobolsky and Eisenberg (*CA* 53, 10913*h*) for pure S. In concn. units of moles of S<sub>8</sub>/l. all diluents had the same effect. The derived  $\Delta H$  of polymerization of 2790 cal./mole and  $\Delta S$  of 2.61 cal./degree-mole were in fair agreement with the results of T. and E. when the latter were cor. to the same units, but were lower than found by Fairbrother, *et al.* (*CA* 49, 15409*e*). Thomas B. Hoover

C.A. 1966. 64. 10  
13417e

S  
ΔH  
ΔS  
мм-  
меридиан

1965

4 Б544. Физико-химические свойства серы. IV. Критические температуры полимеризации и константы равновесия полимеризации серы. Doi Tsunesuke. Physico-chemical properties of sulfur. IV. Critical polymerization temperatures and polymerization equilibrium constants of sulfur. «Rev. Phys. Chem. Japan», 1965, 35, № 1, 18—24 (англ.)

Критическая т-ра перехода, при к-рой начинается интенсивное образование полимера серы, изменяется с р-рением серы неактивным р-рителем. Нек-рые данные для этого процесса, полученные из измерений зависимости вязкости и т-р проанализированы с помощью ур-ния, полученного Тобольским (РЖХим, 1960, № 2, 4292); автор вычислил константы равновесия полимеризации серы. Полученные т. обр. константы равновесия несколько ниже результатов Тобольского. Для полимеризации серы  $\Delta H = 2790$  кал/моль и  $\Delta S = 2,61$  энтр. ед. Сообщение III см. РЖХим., 1966, 16Б451. Н. Шерстюков

III-57

Х. 1967. 4

S

Dorabialsk A. 1965

Chyrowski A.

$\Delta H_{tr}$

20°C

БТТ, №8, арх. 24.

1965

S  
T<sub>m</sub>?  
20 В10. Химия серы. 72. Применение метода зонной плавки к очистке серы. Fehér F., Lutz H. D. Die Beiträge zur Chemie des Schwefels. 72. Die Anwendung des Zonenschmelzverfahrens zur Reinigung von Schwefel. «Z. anorgan. und allgem. Chem.», 1965, 334, № 5-6, 235—241 (нем.; рез. англ.)

Исследовалась очистка S от орг. и неорг. загрязнений зонной плавкой ее в стеклянной трубке (длина 50 см, диам. 12 мм). Одновременно создавалось 6 зон (длиной по 25 мм). Особо исследовано распределение С. Т-ра расплава S должна быть  $< 150^\circ$ ; С концентрируется в хвосте и в отношении его зонная плавка эффективна при скорости  $< 0,1$  см/час для очистки от неорг. примесей (соединения Si, Fe, Ca, Al) достаточна скорость 1 см/час. Предполагается, что С содержится в S в виде высокомол. соединений с мол. весом  $\sim 10\,000$ . Сообщение 71 см. реф. 20В9.

П. Соколов

X. 1966. 20

SeO<sub>2</sub>

SeO<sub>3</sub> (P, OHS, OHV, OHi) XII 826 1965

S, Se, Fe окислы и гидраты (ОБзор термодинам. сб. 6)

Годунов С.И., Добротин Р.Б., Суворов Я.В.

Ю. Зап. Азот. уч.-т, Сер. хим. и., 1965, №2, 81-89

Термодинамические свойства окислов и гидратов  
серы, селена и телура.

РНХ. Кнн., 1966

185566

София

Есть оригинал

15

S (sol.)

YANAF

1965

T. φ.

100 - 2000°K

S (liq.)

JANAF

1965

T. q<sub>b</sub>

298 - 2000°K

1965

~~W.H.P.~~  
S  

of polymeric sulfur. W. J. MacKnight and A. V.  
(Princeton Univ., Princeton, N.J.). *Elem. Sulfur*,  
ys. 1965, 95-107(Eng). A review with 23 references.  
Peter C. Szap

C.A. 1966. 65. 7  
9756 a

1965

XII-856

S

З Е252. Кривая плавления серы до  $11\ 000\ \text{кг}/\text{см}^2$ .  
Пауков И. Е., Тонков Е. Ю. «Ж. прикл. механ. и  
техн. физ.», 1965, № 4, 172—173

Получена кривая плавления S (99,999%) под давле-  
нием (до  $12\ 000\ \text{кг}/\text{см}^2$ , среда — глицерин +10%  $\text{H}_2\text{O}$ ).  
Установлено, что кривая подчиняется ур-нию Симона с  
константами  $a=650\ \text{кг}/\text{см}^2$ ,  $b=-3,090$  и  $c=2,93$ . Откло-  
нения эксперим. точек  $\leqslant 0,09^\circ$ .

φ. 1966. 38

*S*

XII - 856

1965

4 Б783. Кривая плавления серы до  $11\ 000\ \text{кг}/\text{см}^2$ .  
Пауков И. Е., Тонков Е. Ю. «Ж. прикл. механ. и  
техн. физ.», 1965, № 4, 172—173

На установке высокого давл. гидравлич. типа (среда,  
передающая давл. — глицерин с 10% воды) получена  
кривая плавления серы (99,999%). Установлено, что кри-  
вая подчиняется ур-нию Симона с константами:  
 $a = 650\ \text{кг}/\text{см}^2$ ,  $b = -3,090$  и  $c = 2,93$ . Отклонения экспер.  
точек  $< 0,9^\circ$ .

Д. А.

*Кривая  
плавления*

X. 1966.

4

1968

XII-856

S  
P.  
T<sub>m</sub>

Fusion curve for sulfur up to 11,000 kg./cm.<sup>2</sup>. I. E. Paukov and E. Yu. Tonkov. *Zh. Prikl. Mekhan. i Tekhn. Fiz.* 1965(4), 172-3(Russ). The in.p. of S varies from 159.5 to 278.3° as a function of pressure from 1740 to 11,120 kg./cm.<sup>2</sup>, resp. The resulting fusion curve has been fitted to Simon's equation (S. and Glatzel, *CA* 23, 2640) with the consts.  $a = 650 \text{ kg./cm.}^2$ ,  $b = 3.090$ , and  $c = 2.93$ .

R. J. Ackermann

C.A.-1965. 63-19  
15585c

*B92 XII-857*

1965

S

Phase diagram of sulfur at high pressure. I. E. Paukov, E. Yu. Tonkov, and D. S. Mirinskii. *Dokl. Akad. Nauk SSSR* 164(3), 588-9(1965)(Russ); cf. *CA* 62, 11175b. The phase diagram of S at 13,000-37,000 kg./sq. cm. was detd. and the results were correlated with available data. The m.p. vs. pressure plot exhibited a max. at 310° and 16,000 kg./sq. cm. and a ternary point at 290° in the region of 19,000 kg./sq. cm. The presence of a new phase was supported by the sharp decrease in the compressibility at room temp. and  $(22-23) \times 10^3$  kg./sq. cm.

GBJR

C.A. 1965.63.13  
17213 ab

*S*

*ВВ-ХII-857*

*1965*

5 Б803. Фазовая диаграмма серы при высоком давлении. Пауков И. Е., Тонков Е. Ю., Мишинский Д. С. «Докл. АН СССР», 1965, 164, № 3, 588—589

В цанговом кубич. мультипликаторе (Бутузов В. П., Мишинский Д. С., Кац Г. С., Экспериментальные исследования в области глубинных процессов, М., 1962) с тв. средой (пирофиллит) исследована кривая плавления серы в диапазоне 13 000—37 000 кг/см<sup>2</sup>. Кривая плавления серы имеет максимум при 16 000 кг/см<sup>2</sup> и 310° и тройную точку при 19 000 кг/см<sup>2</sup> и 290°. Определен фазовый переход в сере при 22 500 кг/см<sup>2</sup> и 20°, характер к-рого не выяснен.

Реферат авторов

*Tt<sub>2</sub>*

*РЖХ,*

*1966,*

1965

S  
Effect of oxygen impurity on heat capacity of silver. A. O.  
Pavlyuk, V. O. Pervakov, and V. G. Khotkevich (State Univ.,  
Kharkov). *Ukr. Fiz. Zh.* 10(2), 237-8(1965)(Ukrain). The  
effect on the heat capacity of adding O to 99.99% pure Ag was  
studied at  $-195^{\circ}$  to  $+20^{\circ}$ . At O concn.  $<0.8 \times 10^{-2}$  at. % the  
heat capacity changes are less than the exptl. error. At  $0^{\circ}$  the  
heat capacity increases by 0.2 to 0.4% and at  $-150^{\circ}$  it decreases  
by 0.1-0.3% with the introduction of  $0.96 \times 10^{-2}$  to  $1.7 \times 10^{-2}$   
at. % of O. M. Shelef

C.A. 1965. 62. 12  
13939 g

*S<sub>(m)</sub>*

XII-799

1965

Physical properties of liquid sulfur. J. A. Povlis and C. H. Massen (Technol. Univ., Eindhoven, Néth.). *Elem. Sulfur, Chem. Phys.* 1965, 109-23(Eng). A review with 72 references.  
Peter C. Szap

C.A. 1966-65-7  
97586

S

19 Б358. Структура вязкой фазы жидкой серы. Rollis J. A., Massen C. H. Structure of the viscous phase of liquid sulphur. «Nature» (Engl.), 1965, 206, № 4983, 506 (англ.)

Обсуждается вопрос о строении вязкой фазы жидкой S, основанной на теории полимеризации, механизм которой заключается в следующем. При т-рах 160 и выше восьмиатомные кольца S разрушаются и образуют при взаимодействии между собой длинные полимерные цепочки. Добавка  $J_2$  в S приводит к насыщению валентностей на концах цепей. Это останавливает процесс полимеризации, доказательством чего служит тот факт, что при увеличении кол-ва  $J_2$  вязкость полимерной S уменьшается. Этим подтверждается теория полимеризации. Лучшим доказательством наличия р-ции полимеризации явились наблюдения уширения линий ЭПР. Е. Прокопьев

Х. 1965. 19

1368

S  
полимер

18 Б348. Полимеризация жидкой серы. Poullis J. A.,  
Massen C. H., Eisenberg A., ~~Tobolsky A. V.~~  
Polymerization of liquid sulfur. «J. Amer. Chem. Soc.»,  
1965, 87, № 3, 413—415 (англ.)

Теория полимеризации жидкой серы Тобольского и Эйзенберга (РЖХим, 1960, № 2, 4292) основывается на предположении, что число атомов в мономерных и полимерных молекулах S может быть лишь кратным 8. Авторы статьи, признавая, что теория Тобольского и Эйзенберга дает весьма точную картину полимеризации жидкой серы, предложили модифицировать эту теорию, исключив указанное ограничение. Получены выражения для общей конц-ии полимерных молекул, общей конц-ии циклич. молекул в полимере и средней длины цепи полимера, а также приведены соотношения между константами равновесия хим. р-ций, протекающих в процессе полимеризации жидкой серы. Произведения констант, полученных по обеим теориям, являются одинаковой величиной.

В. Синьковский

x. 1965. 18

1965

S  
homologs.

Polymerization of liquid S. J. A. Pouli, C. H. Massen, A. Eisenberg, and A. V. Tobolsky (Technol. Univ., Eindhoven, Neth.). *J. Am. Chem. Soc.* 87(3), 413-15(1965)(Eng). The equations for the equilibrium polymerization of liquid S developed by T. and E. (*CA* 53, 10913*h*) are rederived, eliminating the assumption that the no. of atoms in the polymer is an integral multiple of 8.

H. W. Salzberg

C.A. 1965 62.11  
127258

$\beta$ -S

1965

2 Б256. Кристаллическая структура моноклинной  $\beta$ -серы. S. ands Donald E. The crystal structure of monoclinic ( $\beta$ ) sulfur. «J. Amer. Chem. Soc.», 1965, 87, № 6, 1395—1396 (англ.)

Проведено рентгенографич. исследование (методы Вейссенберга и прецессии) монокл. модификации  $\beta$ -S устойчивой  $>95,39^\circ$ . Параметры решетки были определены ранее (Burwell J. T., Z. Kristallogr., 1937, 97, 123). Структура решена методом прямого определения знаков  $F(h, k, l)$ ;  $R(h, k, l)=0,131$ . Элементарная ячейка содержит 6 колец  $S_8$ , имеющих коронообразную форму; 4 из них занимают общую 4 (e) и 2 — частную позицию 2 (a). Предполагается, что молекулы, расположенные в 2 (a), могут обладать одной из двух возможных ориентаций, связанных друг с другом центром инверсии. Среднее расстояние S—S в молекуле 2,06, кратчайший межмолекулярный контакт 3,6 Å. Уточнение структуры продолжается.

А. Воронков

X. 1966. 2

1965

S

B92-XII-483

Tr

Thermal conductivity of sulfur accompanying crystal transition and phase change. Akira Sugawara (Univ. Yamagata, Japan). *J. Appl. Phys.* 36(8), 2375-7(1965)(Eng). The thermal condns. of both the solid S and the liquid S were continuously measured with an accuracy of  $\pm 1.0\%$  from 0 to  $160^\circ$ . Two transition points exist; 1 of them is the transition point from rhombic S to monoclinic S at  $95.5^\circ$ , and the other is the change point from monoclinic S to liquid S at  $118.9^\circ$ . At each transition point, discontinuous and conspicuous changes in thermal condns. can be observed by this expt. The thermal cond. of monoclinic S decreases with increasing temp. although the cond. which was obtained by Kaye's expt. (K. and Higgins, *CA* 23, 2614) increases with temp. increment.

RCJL

C.A. 1965. 63.8

9085 fg

S

Wada G.

1965

D-5

Successor manus.

(diff)

Mace crescent pointed pect.  
succedent oblique ...

S

1966

5 Б767. Модификации серы, образующиеся при высоком давлении. Geller S. Pressure-induced phases of sulfur. «Science», 1966, 152, № 3722, 644—646 (англ.)

Рентгеновским методом изучен полиморфизм S при повышенном давл. Образцы S чистотой 99,99%, помещенные в контейнеры из Та или нержавеющей стали, нагревали до  $\sim 1000^\circ$  при давл. до 65 кбар в аппаратуре Кеннеди и после плавления охлаждали до т-р отжига: 100—455°. Задокументированы 3 модификации устойчивые при давл.  $> 16$  кбар: фаза I, устойчивая в интервале 16—27 кбар, фаза II («волокнистая»), устойчивая при давл.  $\geq 27$  кбар, и фаза III, устойчивая в интервале  $\sim 25$ —34 кбар; все фазы получены при т-рах 200—350°. Кристаллы фазы II имеют ромбич. решетку с  $a = 13,8\text{ \AA}$ ,  $b = 32,4\text{ \AA}$  и  $c = 9,25\text{ \AA}$ . Подтверждено, что атомы S в фазе II расположены спирально, с 10 атомами в спирале и 3 оборотами на период  $13,8\text{ \AA}$ . Элементарная ячейка фазы II содержит

х. 1967.5

жит 160 атомов, т. е. 16 десятиатомных цепочек; ф. гр. для «волокнистой» модификации, по-видимому,  $Cst\bar{m}$ ,  $Cc2\bar{m}$  или  $Cst2_1$ , что означает возможность существования спиралей с правым и левым вращением и что, по крайней мере, половина спиралей имеет определенное разупорядочение относительно оси. Структуру 2 других модификаций идентифицировать не удалось, хотя она и родственна структуре фазы II. Фаза I, по-видимому, является описанной ранее (Das S. R., Indian J. Phys., 1938, 12, 163)  $\omega$ -модификацией S.

Л. Шведов

1966

S

2 Е303. Фазы, образующиеся в сере при высоком давлении. Gelleg S. Pressure-induced phases of sulfur. «Science», 1966, 152, № 3722, 644—646 (англ.)

При исследовании S (99,999%) в аппаратуре типа поршень — цилиндр при давлениях между 16 и 65 кбар обнаружены три новые модификации, сохраняющиеся долгое время в метастабильном состоянии после снятия давления. Все три фазы получены в результате следующей обработки плавления S при заданном давлении, снижения т-ры до одной из т-р в интервале 125—455° С и выдержки в этих условиях в течение 3 часов. Две из этих фаз уже были получены раньше другими методами. Рентгенографически установлено, что волокнистая S, об-

ф. 1967. 28

разующаяся при давлениях выше 27 кбар, имеет орто-ромбич. структуру с параметрами  $a=13,8$ ;  $b=32,4$  и  $c=9,25$  Å. Приведены данные о расположении атомов в элементарной ячейке и о пространственной симметрии этой структуры. Из-за трудности получения хороших монокристаллов структуры двух других фаз точно не установлены. Одна из них, возможно,  $\omega$ -серы. Т. Ершова

S

XII-653

1966

- ) 14 Б686. Термодинамика  $\lambda$ -перехода в жидкой сере.  
Klement William, Jr. Thermodynamics of the Lambda transition in liquid sulfur. «J. Chem. Phys.», 1966, 45, № 5, 1421—1423 (англ.)

При помощи термодинамич. соотношений, полученных ранее (РЖХим, 1957, № 11, 37117) исследована термодинамика перехода в жидкой сере при  $T = 159,1 + 0,3^\circ$  при предположении, что этот переход является  $\lambda$ -переходом типа, встречающегося в гелии, хлористом аммонии и кварце. На основании литературных данных по теплоемкости и оцененных значений термич. расширения найдено, что начальный наклон  $\lambda$ -линии на  $P - T$ -по-

X 1967 . 14

верхности примерно равен  $-42$  бар/град. Указывается, что ультразвуковые измерения не вполне пригодны для определения сжимаемости в случае жидкой серы, особенно вблизи  $\lambda$ -перехода и в связи с этим имеющиеся данные о сжимаемости недостаточны. Это вызывает необходимость проведения дополнительных тщательных измерений, особенно при субмегагерцевых частотах в окрестности  $\lambda$ -точки.

В. Байбуз

5

XII-844

1966

(Gr)

19 Б543. Применение схемы контроля адиабатических условий для измерения низкотемпературной теплоемкости серы. Мальцев А. К., Демиденко А. Ф. «Тр. Моск. хим.-технол. ин-та им. Д. И. Менделеева», 1966, вып. 51, 136—139

Описано применение чувствительных электромагнитных реле в цепи фотосопротивлений, в схеме регулирования адиабатных ширм, позволяющее существенно упростить изготовление аппаратуры автоматического регулирования. Сообщаются результаты измерения теплоемкости ромбич. серы в области 53—305° К, хорошо согласующиеся с литературными данными.

В. С.

x. 1967. 19

<u>3</u> <u>(copper powder)</u>	<u>Montgomery R.L.</u> <u>Dacrymyces</u>	<u>1966</u>
	Low Temperature heat capacity of sulfur	
$S_{2.98}$	$7,661 \pm$	
$C_{p,298}$	$5,425 \pm$	
$H - H_0$	$1054,4 \pm$	

1966

16 Б664. Исследование активности серы в расплавах Fe—S. Пышкин Ю. Д. «Изв. высш. учебн. заведений. Черн. металлургия», 1966, № 7, 21—24

Sr=pbFe

Рауль  
активность

Определена активность S в жидким Fe путем измерения скорости испарения жидкого Fe в вакууме  $5 \cdot 10^{-5}$  мм при т-рах 1550 и 1600° из чистого железа и железо-сернистых расплавов с содержанием S от 0,016% до 3,105%. Описан метод измерений и подготовки образцов. В жидких сплавах системы Fe—S железо обнаруживает незначительные положительные отклонения от закона Рауля, которые с повышением т-ры уменьшаются. Эти отклонения указывают, что силы взаимодействия между атомами Fe и S при 1550 и 1600° значительно слабее сил взаимодействия между одноименными атомами железо-сернистого раствора. А. Спектор

x · 1964 · 16

*S<sub>12</sub>*

1966

10 B22. Циклододекасера  $S_{12}$  — новое соединение серы. Schmidt Max, Wilhelm E. Cyclododecaschwefel,  $S_{12}$  — eine neue Verbindung des Schwefels mit sich selbst. «Angew. Chem.», 1966, 78, № 22, 1020 (нем.)

Растворением  $S_4Cl_2$  и  $H_2S_8$  в  $CS_2$  и внесением этого р-ра в течение 25 час. при  $\sim 20^\circ$  и перемешивании в смесь эфир +  $CS_2$ , декантированием жидкой фазы от выпавшего осадка, обработкой его при  $40^\circ$  теплым  $CS_2$  и удалением в вакууме р-рителя получена с 15—20%-ным выходом  $S_{12}$  (I). Т. разл. I  $148^\circ$ , р-римость в бензоле 400 мг/л, а в  $CS_2$  2 г/л. Мол. вес I в  $CS_2$  составляет 377—390.

О. Голубев

X · 1967 · 10

S

1966

2 E304. Синтез и стабильность модификации высокого давления серы. Sclar C. B., Garrison L. C., Gager W. B., Stewart O. M. Synthesis and stability of a high-pressure polymorph of sulfur. «J. Phys. and Chem. Solids», 1966, 27, № 8, 1339—1343 (англ.)

В белт-аппарате методом закалок от высоких т-р и давлений получена новая модификация серы ( $S'$ ), медленно (60% за 10 дней) превращающаяся при норм. условиях в стабильную орторомбич. модификацию.  $S'$  стабильна в интервале от 300° С до точки плавления при давлениях 30—60 кбар. Получены и описаны рентгенограмма  $S'$  (наиболее сильная линия — 4,04 Å) и оптич. ее свойства;  $S'$  дает симметричную линию электронного спинового резонанса с  $g = 2,0036 \pm 0,0005$ .

• 1967.28

*BP - XII - 785*

*1986*

15 Б658. Определение кривой плавления серы при давлении до 90 кбар. Susse Christiane, Spain. Raymond, Vodat Boris. Détermination de la courbe de fusion du soufre sous pression jusqu'à 90 kbars. «J. chim. phys. et phys.-chim. biol.», 1966, 63, № 11—12, 1502—1506 (франц.; рез. англ.)

Кривая плавления S определена с помощью ДТА до давл. 60 кбар и простым термич. методом в интервале 60—90 кбар, с использованием аппарата высокого давл. типа «Belt». Образцы приготовлены расплавлением ромбич. S (99,999%, ~0,001% Se) в атмосфере Ar с охлаждением в Pt-тигелях. Тройная точка на фазовой диаграмме S зафиксирована при 20 кбар и 300°; кривая плавления обнаруживает максимум при ~86 кбар и 680°, к-рый связан, по-видимому, с изменением степени ассоциации атомов S в расплаве. Л. Шведов

*X: 1984: 15*

S

89-XII-784

1966

4 Б639. Новая тройная точка на фазовой диаграмме серы. Susse Christiane, Epaïn Raymond. Un nouveau point triple dans le diagramme de phase du soufre. «C. r. Acad. sci.», 1966, C263, № 9, 613—615 (фр.)

С помощью термич. метода построена кривая плавления  $S$  (чистотой 99,999%) при давл. до 100 кбар (аппарат для высоких давл. типа «белт»). Зафиксирована при давл. ~94 кбар и т-ре 666° новая тройная точка.

Л. Шведов

X 1967 . 4

8

89-XII-784

1966

14453z A new triple point in the phase diagram of sulfur. Christiane Susse and Raymond Epain (C.N.R.S., Bellevue, France). *C. R. Acad. Sci., Paris, Ser. C* 263(9), 613-15(1966) (Fr). The detn. of the m.p. curve of S is extended to 100 kilobars and  $680^{\circ}$ , and a 2nd triple point is observed at 94 kilobars and  $666^{\circ}$ . The latent heat of the solid-solid transformation leading to this point is small. The discovery of this triple point can require the reconsideration of certain hypotheses concerning the behavior of S under a shock wave. It is possible that during the transformation, S passes into a state having the properties of a solid semiconductor.

R. I. Razouk

C.A. 1967.66.4

1966

S

T<sub>m</sub>

98736e Determination of the melting curve of sulfur under pressures of less than 90 kilobars. Christiane Susse, Raymond Epain, and Boris Vodar (C.N.R.S., Bellevue, France). *J. Chim. Phys.* 63(11-12), 1502-6(1966)(Fr). The m.p. curve for S was detd. by differential thermal analysis up to 60 kilobars, and by simple thermal analysis from 60-90 kilobars. The S was 99.999% pure with Se the major impurity. A max. in the melting curve was found at 680° at 86 kilobars. The similarity with the phase transformation observed when  $87 \pm 20$  kilobars is applied in shock waves is noted.

HLJF

C.A. 1967:66:29

VI  
Га́лько-  
Чи́лдов

1966

2 E92. Закономерности изменений термо-э. д. с. при плавлении халькогенидов элементов IV и V группы периодической системы. Глазов В. М., Крестовин и ков А. Н., Евсеев В. А. «Докл. АН СССР», 1966, 169, № 4, 868—871

Систематически исследованы изменения термо-э. д. с. при плавлении соединений  $A^{IV}B^{VI}$  и  $A_2^{V}B_3^{VI}$  (где  $A^{IV}=Ge, Sn, Pb; A^V=Bi, Sb; B^{VI}=S, Se, Te$ ). Образцы представляли собой соединения стехиометрич. состава. Измерения  $\alpha$  проводились в интервале т-р от комнатной до  $1100^{\circ}\text{C}$  в атмосфере аргона. Полученные данные свидетельствуют о сохранении полупроводни. свойств соединений  $A^{IV}B^{VI}$  при плавлении, а также об усилении их при «ионном» замещении на более легкий элемент.

оф. 1967. 23

тогда как при «катионном» замещении на более легкий элемент величина скачка  $\alpha$  остается практически неизменной. Низкие abs. значения  $\alpha$  указывают на существенную металлизацию связей при плавлении соединений  $A^{\text{IV}}\text{Te}$ . Данные по термо-э. д. с. расплавов халькогенидов сурьмы и висмута также свидетельствуют об определенной металлизации связей при плавлении, особенно существенной у теллурида висмута, что хорошо согласуется с данными по исследованию электропроводности.

1966

ХарактертипаКристалло-структура

- 4 E285. Фазовые переходы в халькогенидах переходных металлов. На а с С. Phase transitions in transition-metal chalcogenides. «Solid State Commun», 1966, 4, № 9, 419—421 (англ.)

Рассмотрены халькогениды переходных металлов, анионы которых образуют плотноупакованную гексагр. решетку, а катионы находятся в октаэдрич. порах. Часть этих пор вакантны и если эти вакансии имеют случайное распределение, то решетка имеет симметрию типа NiAs ( $D_{6h}^4$ ). Если вакансии частично упорядочены, то симметрия снижается. Упорядоченные фазы наблюдаются в халькогенидах переходных металлов составов  $M_7X_8$ ,  $M_5X_6$ ,  $M_3X_4$ ,  $M_2X_3$ ,  $M_5X_8$ . Рассматриваются возможные взаимодействия между указанными структурами.

Б. Ланда

ф. 1967. 48

VI

Халькогениды  
металлов

(Изуч.)

8 Б538 К. Полупроводниковые соединения, их получение и свойства. Халькогениды элементов II, IV и V групп периодической системы. Абрикосов Н. Х., Банкица В. Ф., Порецкая Л. В., Скуднова Е. В., Шелимова Л. Е. М., «Наука», 1967, 176 стр., илл., 89 к.

В монографии обобщены литературные данные исследований полупроводниковых соединений — халькогенидов элементов II, IV и V групп периодической системы. Приведены диаграммы состояния двойных систем  $A^{II}-B^{VI}$ ,  $A^{IV}-B^{VI}$  и  $A^{V}-B^{VI}$ . Для некоторых систем рассмотрены диаграммы  $P-T-X$ . Освещены случаи отклонения состава соединений от стехиометрии и влияния отклонения от стехиометрии на электрич. св-ва. Приведены диаграммы состояния тройных и более сложных систем на основе соединений, описанных в монографии. Рассмотрены кристаллич. структура и хим. связь. Описаны термодинамич. и физико-хим. св-ва и основные методы синтеза.

Резюме

X. 1968. 8

# Халькогалогениды

1967

- ▷ 22 В46. Обзор методов получения смешанных халькогалогенидов. Мохосоев М. В., Алейкина С. М.  
В сб. «Халькогениды.» Киев, «Наук. думка», 1967,  
115—126  
Обзор. Библ. 30.

2 · 1967 · 22

Черн  
Халькогениды

1967

Д21 В74. О классификации халькогенидов. Самсонов Г. В. В сб. «Халькогениды». Киев, «Наук. думка», 1967, 3—17.  
» Обзор. Библ. 11.

х. 1967 . 21

VJ

1967

74692c Classification of chalcogenides. G. V. Samsonov.  
Khal'kogenidy (Svoistva, Metody Poluch., Primen.), Maler.  
Seminara, 1st, Kiev 1965, 3-17(Pub. 1967)(Russ). The available data are reviewed and an attempt is made to classify chalcogenides based on the type of their chem. bonding and electronic structures. Three groups are proposed: chalcogenides of s-metals of the ionic-covalent type; chalcogenides of transition elements characterized by a covalent-metallic bonding with superimposing of some ionic bonding; and chalcogenide of sp-elements, with covalent-ionic type of chem. bonding. Phys. chem. properties of chalcogenides are explained and predicted. 11 references.

A. Gottlieb

Xanthoneimide

C.A. 1968 · 68 · 16

1967

VI ур.

21 В52 К. Халькогениды. Свойства, методы получения и применение. (АН УССР. Ин-т пробл. материаловед.). Киев, «Наук. думка», 1967, 192 стр., илл., 88 к.

Х. 1967. 21

1968

Халькогениды

11 В21 К. Халькогениды элементов IIIБ подгруппы  
периодической системы. Медведева З. С. М., «Нау-  
ка», 1968, 216 стр., илл., 65 к.

(Инга)

2. 1969. 11

(Kалкогениды)  
III B подгруппы (Ga, In, Tl) 1968

27945k Chalcogenides of Elements of Subgroup IIIB of the  
Periodic System (Khal'kogenidy Elementov IIIB Podgruppy  
Periodicheskoi Sistemy). Medvedeva, Z. S. (Nauka: Moscow).  
1968. 216 pp. 65 k.

(неорганическ.)

C.I.A. 1970.

72.6

(O, S, Se, Te)Fx

Xacte corenugh

1968

(meek  
mb.)

33988x Thermodynamic properties of some chalcogen fluorides. O'Hare, P. A. G. (Argonne Nat. Lab., Argonne, Ill.). U.S. At. Energy Comm. 1968, ANL-7315, 95 pp. (Eng). Avail. Dep.; CFSTI. From *Nucl. Sci. Abstr.* 1969, 23(7), 13594. Phys. and thermodynamic data are presented for 24 gaseous fluorides of the O-group elements. Data are also included for the liq. and solid states where enthalpies of vaporization and fusion are available. The thermodynamic functions  $-(G^\circ - H_0^\circ)/T$ ,  $(H^\circ - H_0^\circ)/T$ ,  $S^\circ$ ,  $C_p^\circ$ ,  $H^\circ - H_{298}^\circ$ ,  $\Delta H_f$ ,  $\Delta G_f$ , and  $\log K_f$  are tabulated from 0 to 2000°K.

TCNG

Tepresog.  
go - year

C.A.

1969. H. 8

окислов

и гр. халькогенидов

1969

обзор

7 Б927. Термохимия окислов и халькогенидов переменного состава и их магнитные свойства. Ария С. М. В сб. «Соедин. перемен. состава». Л., «Химия», 1969, 262—325  
Обзор. Библ. 94

X. 1970. ♀

Характеристика  
переходных  
сезонов

DH<sub>2</sub>

~~Год~~

Ареал С. Н.  
Морозова Н. Г.

1969

M. gres. ахении,

1969, 43, 12, 3007

(Cer. Cer-O) I

1969

) 11 Е224 К. Структурные исследования некоторых окислов и других халькогенидов при нормальных и высоких давлениях. Руманс К. Перев. с англ. М., «Мир», 1969, 207 стр., илл., 1 р. 4 к.

Окислы  
и др. халь-  
когениды

Книга состоит из 8 глав. Глава I. Аппаратура и техника измерений. Глава II. Основные понятия неорганической химии высоких давлений и полиморфизм. Глава III. Основные характеристики структур фаз высокого давления. Глава IV. Поведение соединений типа AX под давлением. Глава V. Влияние давления на структуру соединений ABX<sub>2</sub>. Глава VI. Влияние давления на структуру соединений A<sub>2</sub>X<sub>3</sub>. Глава VII. Влияние давления на структуру соединений ABX<sub>3</sub>. Глава VIII. Влияние давления на структуру соединений AB<sub>2</sub>X<sub>4</sub>. Приложение, составленное переводчиками, «Структурные исследования халькогенидов типа AB при высоком давлении, выполненные в СССР».

00. 1969. 11

1969

Халькогениды

P-T-диаграмма

(всеобщее)

давление

10 Е425. Поведение некоторых групп халькогенидов под воздействием очень высоких давлений. Rooymans C. J. M. The behaviour of some groups of chalcogenides under very-high-pressure conditions. «Advances High Pressure Res. Vol. 2». London—New York, 1969, 1—100 (англ.)

Общая характеристика структуры фаз. Структура, превращения,  $P-T$ -диаграммы и т. п. для групп  $AX$ ,  $ABX_2$ ,  $A_2X_3$  и  $ABX_3$ . Библ. 280.

09.1970 • 108

Duxaukoneugt  
negative

1969

Met - lab

36738x Transition metal dichalcogenides. Discussion and interpretation of the observed optical, electrical, and structural properties. Wilson, John Anthony; Yoffe, Abraham D. (Cavendish Lab., Cambridge, Engl.). *Advan. Phys.* 1969, 18(73), 193-335 (Eng). The transition metal dichalcogenides are ~60 in no. Two-thirds of these assume layer structures. Crystals of such materials can be cleaved down to <1000 Å and are then transparent in the region of direct band-to-band transitions. The transmission spectra of the family have been correlated group by group with the wide range of elec. and structural data available to yield useful working band models that are in accord with a MO approach. Several special topics have arisen: these include exciton screening, *d*-band-formation, the metal/insulator transition, magnetism, and supercond. in such compds. High-pressure work seems to offer a possibility for testing the recent theory of excitonic insulators.

RCTT

C.A. 1970

72.8

1871

Диссоциации

21-Web

Р-А япон

132125y Dissociation energies of new Group Va chalcogenide molecules. Sullivan, Charles Larry (Case West. Reserve Univ., Cleveland, Ohio). 1971, 158 pp. (Eng). Avail. Univ. Microfilms, Ann Arbor, Mich., Order No. 72-6341. From *Diss. Abstr. Int. B* 1972, 32(18), 4522.

№

C. A. 1872. 76. 22

*Халькогениды*

1971

Полиморфные  
тройные  
халькогениды.

11 Б408. Исследования под высоким давлением тройных халькогенидов с тетраэдрической координацией катионов. Range Klaus-Jürgen. Hochdruckuntersuchungen an ternären Chalkogeniden mit tetraedrisch koordinierten Kationen. «Chem.-Ztg», 1971, 95, № 1, 3—11 (нем.; рез. англ.)

С целью проверки предположения, что в группе структурно-аналогичных в-в при давл. до 80 кбар образуются новые фазы, в большинстве метастабильные при атмосферном давл., проведено изучение тройных халькогенидов  $ABX_2$  ( $A=\text{Cu}, \text{Ag}$ ;  $B=\text{Al}, \text{Ga}, \text{In}$ ;  $X=\text{S}, \text{Se}, \text{Te}$ ) и  $AB_2X_4$  ( $A=\text{Zn}, \text{Cd}, \text{Hg}$ ;  $B=\text{Al}, \text{Ga}, \text{In}$ ;  $X=\text{S}, \text{Se}, \text{Te}$ ). Рассмотрено своеобразие действия высокого давл. на тв. тело; происходящие при этом превращения разделены на 3 группы. Из подробного анализа кристаллохим. особенностей тройных халькогенидов сделан вывод о необходимой перестройке их структур при высоком давл.

X · 1971 · 11

в сторону более плотного заполнения пространства. Получены рентгенограммы новых фаз (метод Дебая—Шеррера). По двум группам проведено кристаллохим. сравнение полученных фаз и исходных: 1) превращения фаз с халькопиритовой структурой в метастабильные с неискаженной или искаженной структурой типа  $\text{NaCl}$ , типа  $\beta\text{-Mn}(\text{AgInS}_2, \text{AgInSe}_2, \text{AgInTe}_2, \text{AgGaTe}_2)$ ; 2) превращения фаз с тиогаллатовой структурой в шпинелевую, устойчивую при атмосферном давл., в искаженную структуру типа  $\text{NaCl}: \text{ZnAl}_2\text{Se}_4, \text{CdAl}_2\text{S}_4, \text{CdAl}_2\text{Se}_4, \text{HgAl}_2\text{S}_4, \text{HgAl}_2\text{Se}_4, \text{ZnIn}_2\text{S}_4, \text{CdZn}_2\text{Se}_4, \text{HgIn}_2\text{Se}_4, \text{CdIn}_2\text{Te}_4, \text{HgIn}_2\text{Te}_4, \text{CdZn}_2\text{Se}_4$ . Структурные нарушения в халькогенидах  $\text{AB}_2\text{X}_4$  более часты, чем в  $\text{ABX}_2$ -соединениях. При превращениях Ga-содержащих фаз образуются фазы с неизвестной структурой. Для  $\text{SdIn}_2\text{Se}_4$ , дающего 3 фазы при высоком давл., построена  $pT$ -диаграмма.

Е. Л. Белоконева

1972

Халькогениды

Обзор

6 Е891. Халькогениды переходных металлов. Flahaut J. Transition metal chalcogenides. «Solid State Chem.» London e. a., 1972, 189—241 (англ.).  
Обзор. Библ. 311.

ф. 1974 н 6

Халькогениды

1972

переходн. металлов

- 13 Б427. Халькогениды переходных металлов. Flahaut J. Transition metal chalcogenides. «Solid State Chem.» London e. a., 1972, 189—241 (англ.)

Обзор. Дано систематич. описание крист. структур халькогенидов элементов группы IIIa и халькогенидов переходных металлов. Библ. 311. Н. В. Суворова

(обзор)

Х. 1974. N 13

Хаускогенит

1973

Finogenov A. D.

Semenkovich S. A.

(1, S°)

Chim. Sovaz Risti  
Poluprovodn. Polemet.

1973, 238-47 (Russ)

C.A. 1974. 81. N20



ан РЗЭ  
хаускогенит; I)

Халкогениды

1973

0530P

101193x Layer compounds. Yosse, A. D. (Cavendish Lab., Cambridge, Engl.). *Annu. Rev. Mater. Sci.* 1973, 3, 147-70 (Eng). A review with 72 refs. of the electronic properties of solids having layer-type structures, in particular the layer-type dichalcogenides of Ti, Zr, Nb, Mo, Te, Hf, Ta, W, and Re. The optical, elec., magnetic, and structural properties are discussed. Marvin S. Carr

C.A.1974.80.118

Katalkogenidy

1974

121793h | Composition and thermodynamid characteristics  
of soluble chalcogenides. Zaitseva, I. G.; Greiter, T. N.  
(USSR). Katalkogenidy 1974, (3), 112-16 (Russ). From Ref.  
Zh., Khim. 1975, Abstr. No. 1V38. Title only translated.

C.A. 1975, 83N14

Халькогениды

1975

5 Б855. Энталпии смешения жидкых халькогенидов.  
Blachnik R., Rabe U. Enthalpies of mixing of liquid  
chalcogenides. (Abstract). «4ème Conf. int. thermodyn.  
chim., Montpellier, 1975. Vol. 3». S. I., s. a., 45 (англ.)

С помощью высокоточного калориметра измерены энталпии смешения жидк. халькогенидов элементов основной подгруппы V группы. В системах  $A_2Te_3B_2Te_3$  ( $A$  и  $B=As, Sb, Bi$ ) установлено сильное взаимодействие элементов V группы в жидк. матрице атомов теллура. Зависимость интегральной энталпии смешения от состава имеет S-образный вид с экзотермич. ветвью при содержании 0—10 мол.% теллуридов As и Sb в теллуриде Bi. Исследовано взаимодействие Se и Te в матрициях As, Sb или Bi в системах  $A_2Se_3A_2Te_3$ . Отмечено, что энталпии смешения теллуридов в системах с Sb и Bi эндотермичны, а с As — экзотермичны. Полученные данные использованы для построения фазовых диаграмм.

Резюме

ΔHmix

X. 1977  
N 5

Халькогениды Р.З.Э. 1975

УДК 546

Ярембаш Е.И. и Елисеев А.А.

Халькогениды редкоземельных элементов. Синтез  
кристаллохимия. М., "Наука", 1975.

258с. (АН СССР? Ин-т общей и неорганическ.  
им. Н.С.Курнакова).

в центр. библ. ЦНДАН

Харламов - Иванова Л.Л. 1976  
ируге

Zh. Fiz. Khim. 1976,  
50(1) 234-7 (russ)

(with review by I.)  
Relation between the reduced  
thermodynamic potential and the  
entropy...

# Физика боксигидов переходных металлов

1976

7 Е359. Теплоемкость слоистых соединений при низких температурах. Schwatt R. E., Stewart G. R., Geballe T. H. Low-temperature specific heat of layered compounds. «J. Low Temp. Phys.», 1976, 22, № 5—6, 557—567 (англ.)

Теплоемкость ряда слоистых кристаллич. комплексов (Gp) дихалькогенидов переходных металлов измерена в интервале т-р 1—10° К в магн. поле  $\sim 1,2 T$ , наложенным перпендикулярно слоям. Обнаружены аномалии теплоемкости при изменении величины магн. поля. По данным эксперимента в рамках простой модели Гинзбурга — Ландау рассчитана длина свободного пробега носителей и величина потенц. барьера. Библ. 28. А. П. Рыженков

(Gp)

Ф. 1976

№ 7

Халькогениды

1977

Книга

12 ЕЗ К. Химия и физика халькогенидов. (Ин-т  
пробл. материаловед. АН УССР). Киев, «Наук. думка»,  
1977. 140 с., ил., 88 к.

В сборнике представлены материалы IV семинара по  
химии и технич. применению халькогенидов (Ужгород,  
1975 г.). Рассмотрены вопросы синтеза простых и слож-  
ных халькогенидов, методы получения монокристаллов

Ф. 1977 № 12

Morozovarus

1978

Xal'kogenidov Metallov

89: 186346h Vapor Pressure of Volatile Metal Chalcogenides..  
(Davlenie Para Letuchikh Khal'kogenidov Metallov) Novoselova,  
A. V.; Pashinkin, A. S. (Nauka: Moscow, USSR). 1978. 110  
pp. rub 0.70.

(P)

C. A. 1978. 89 n22

Обзор. Халькогениды

1979

13 Б511. Проблема халькогенов и халькогенидов в современной науке и технике. Спицын В. И. «Комплекс. использ. минеральн. сырья», 1979, № 1, 38—45.

Обзор. Отмечено, что сера, селен и теллур образуют с переходными элементами больших периодов системы элементов Д. И. Менделеева соединения — обладающие либо полупроводниковыми, либо сверхпроводниковыми и др. св-вами. Приведены различные физ. св-ва халькогенидов и обсуждается проблема расширения их сырьевой базы. Библ. 12.

Резюме

sc. 1979 N/3

Kautzkoresslagil

1980

/ 93: 193054x. The chemical vapor transport, crystal growth  
and thermodynamic properties of selected tin chalcogenides.  
Csillag, Frank Joseph (Rensselaer Polytech. Inst., Troy, NY  
USA). 1980. 439 pp. (Eng). Avail. Univ. Microfilms Int., Order  
No. 8020400. From *Diss. Abstr. Int. B* 1980, 41(3), 973.

C.A. 1980-93 w/20

Диаграммы  
систем

1980

19 Б847. Физико-химическое взаимодействие в системах  $\text{A}^{\text{II}}\text{B}^{\text{VI}}$ — $\text{A}^{\text{II}}\text{B}^{\text{VI}}$ . Томашик В. Н., Олейник Г. С., Мизецкая И. Б. «Изв. АН СССР. Неорг. материалы», 1980, 16, № 6, 994—996

Рассмотрены исследованные диаграммы состояния систем  $\text{A}^{\text{II}}\text{B}^{\text{VI}}$ — $\text{A}^{\text{II}}\text{B}^{\text{VI}}$  и показано, что определяющее влияние на характер диаграмм плавкости указанных систем, а также на характер изменения ширины запрещенной зоны от состава оказывает анион-анионное замещение, что можно объяснить значит. увеличением ионных радиусов в ряду  $\text{S}^{2-}$ ,  $\text{Se}^{2-}$  и  $\text{Te}^{2-}$ . Предсказан тип диаграмм плавкости исследованных систем  $\text{A}^{\text{II}}\text{B}^{\text{VI}}$ — $\text{A}^{\text{II}}\text{B}^{\text{VI}}$ .

Резюме

Х. 1980 IV 29

1980

Харковен.  
Лепахов

8<sup>0</sup>  
298

Vishnyakova A.V.,  
Zh. Neorg. Khim. 1980,  
25 (8), 2023-8.

(ал. магнит Харковен; I)

Handwritten text: 1580

92: 117432h Enthalpy of atomization and bond energies in  
binary chalcogenide vitreous compounds. Zhukov, E. G.;  
Dembovskii, S. A. (Inst. Obshch. Neorg. Khim. im. Kurnakova,  
Moscow, USSR). *Izv. Akad. Nauk SSSR, Neorg. Mater.* 1980,  
16(1), 37-41 (Russ). Heats of atomization and hetero-bond  
energies of a series of s-, p-, and d-element chalcogenides were  
calcd. Attempts were made to correlate the levels of the energy  
values with the tendency of these compds. to form (or not to  
form) glasses.

Handwritten text: 1580

c. 8. 1980. 92 117432h

# Термодин. функции

## халькогенид систем

1984

16 Б3010 Деп. Расчет интегральных термодинамических функций многокомпонентных стеклообразных халькогенидных систем. Пазин А. В.; Киров. политехн. ин-т. Киров, 1984. 12 с. Библиогр. 6 назв. (Рукопись деп. в ОНИИТЭхим г. Черкассы 17 апр. 1984 г., № 336хп—84 Деп.)

Предложен метод расчета интегральных термодинамич. функций в квазибинарных и квазитройных системах, позволяющий обойтись эксперим. данными, полученными одним каким-либо методом (напр., методом э. д. с.), используя значения термодинамич. функций лишь одного чистого соединения и парциальные термодинамич. функции одного из элементов системы. Предложены ур-ния для колич. оценки влияния геометрич. и энергетич. факторов на состояние компонента в стекле.

Автореферат

ж. 1984, 19, № 16

Фёдоров В.Е.

1988

(Владимир Евгеньевич)

Характеристика переходных  
туннельных металлов.  
Казиодисперсные соединения

(NbSe<sub>3</sub>, TaSe<sub>3</sub>)

Характеристика

(Некр.,  
хим.)

Kantkovich  
Uematsu Shamsuddin M., 1989

Techniques for measurement of thermodynamic properties of chalcogenides.

( $\rho$ , SHV)

6 Intern Conference on  
high temperatures, 1. 15/IC

april 1989, Fairhersburg,  
USA., 1. 15/1C.

Халькогениды

1988-1989

З Е770. Методы измерения термодинамических свойств халькогенидов. Techniques for measurement of thermodynamic properties of chalcogenides / Shamsudin M. // High Temp. Sci.— 1988—1989.— 28, Spec. Vol. — С. 255—269.— Англ.

Критический обзор методов измерения термодинамич. свойств (калориметрия, химич. равновесие, давление пара, электрохимич. методы) халькогенидов. Обсуждены относит. возможности и точность разных методов. Выбор метода зависит от требуемой точности, характера исследуемой системы, возможности выбора материала контейнера и т-ры. Полученные данные можно считать достоверными и надежными, если они получены двумя или большим числом независимых методов. Библ. 103.

термо. в-ва

Ф. 1992, № 3.

1988

Халькогениды Б3002. Методы измерения термодинамических свойств халькогенидов. Techniques for measurement of thermodynamic properties of chalcogenides / Shamsud-din M. // High Temp. Sci.—1988—1989.—28, Spec. Vol.— С. 255—269.— Англ.

(одзор  
термод. св-в)

Проведена систематизация эксперим. методов исследования термодинамич. св-в халькогенидов (I). Рассмотрены возможности классич. калориметрии р-рения и определения теплоемкости, высокот-рной калориметрии р-рения в расплавах, метода смешения для определения теплосодержания. Определения Крави проводятся статич. и динамич. методами, эфузионный метод Кнудсена в сочетании с масс-спектрометрией используется для определения  $\Delta_f G$  I. Электрохим. методы с использованием в кач-ве электролита р-ренных в глицерине хлоридов металлов используются для определения  $\Delta_f G$  при невысоких т-рах. Гальванич. ячейки с расплавами хлоридов широко применяются для определения  $\Delta_f G$  и парц. мол. св-в I.  $\Delta_{fus}H$  I определяются методом высокот-рной криоскопии. Обсуждены ограничения различных методов исследования и точность определяемых свойств. Библ. 103.

Л. А. Резницкий

X. 1992, № 3

KAMARZIN

1990

114: 130503z Thermodynamic properties in homologous series  
of chalcogenides. Kamarzin, A. A. (USSR). *Fiz. i Khimiya  
Redkozemel. Poluprovodnikov*, Novosibirsk 1990, 50-5 (Russ).  
From Ref. Zh., *Fiz. (A-Zh.)* 1990, Abstr. No. 10E467. Title only  
translated.

homologous

cf - Ba

c.A.1991, 114, n14

Kamkoiehugh

1990

114: 70116p Thermodynamic properties in homologous series  
of chalcogenides. Kamarzin, A. A. (USSR). *Fiz. i Khimiya  
Redkozemel. Poluprovodnikov*, Novosibirsk 1990, 50-5 (Russ).  
From Ref. Zh., Khim. 1990, Abstr. No. 18B3033. Title only  
translated.

(P)

(Cell. qm.)

C.A.1991, 114, N8

1990

IV Всес. собрание по химии  
и технологиям химико-фармацевтическим

Тезисы докладов

18 - 21/IX - 1990

Казань, 1990

орг. ч  
Г.А. Берманис

Зп

X<sub>2</sub>

Batsanov G.S.

1992

X-ray diffraction. J. Phys. Chem.

(juce) Solids, 1992, 53(2),  
319 - 21

CeO<sub>2</sub>



O<sub>2</sub> (I)

1998

F: Halkogenids

P: 1

19Б2288ДЕП. Модели теплоемкости аморфных полупроводников / Охотин А. С., Увдиев Д.; Моск. гос. текстил. акад. - М., 1998. - 6. - Библиогр.: 4 назв. - Рус.

- Деп. в ВИНИТИ 24.04.98, N 1311-В98 При низких температурах (ниже дебаевской) у аморфных полупроводников теплоемкость увеличивается с ростом молекулярного веса халькогена: у сульфидов она наименьшая, у теллуридов - наибольшая. Исключение составляют халькогениды кадмия и мышьяка, т. к. в этих соединениях полностью отсутствуют сложные структуры. При высоких температурах (выше дебаевской) теплоемкость наибольшая у сульфидов и наименьшая у теллуридов. Характер такой качественной зависимости теплоемкости важен, т. к.

это определяет спектр колебаний данного соединения и соотношение высоких и низких частот. Это подтверждается и качественной зависимостью температуры Дебая и максимальной частоты колебаний от молекулярного веса соединений. У всех халькогенидов с ростом молекулярного веса температура Дебая и максимальная частота колебаний уменьшается, в халькогенидах германия характер этой зависимости носит прямо противоположный характер. Причина такой аномальности в особенностях структуры и свойств теллурида германия. При температурах выше дебаевской температурная зависимость теплоемкости для всех аморфных халькогенидов определяется принятой для этого температурного интервала классической моделью. Это подтверждается степенной зависимостью теплоемкости от температуры при малом показателе степени, который изменяется в пределах 0,1-0,357 и говорит о незначительном увеличении величины теплоемкости с ростом температуры. При низких температурах (ниже дебаевской) справедлива в спектре и соответствующих температур Дебая позволяют сделать предположение о наличии слоистой структуры, - в аморфных халькогенидах галлия, индия ячейки ближнего порядка претерпевают структурные перестройки с изменением температуры, а присутствие атомов теллура могут давать участки слоистого вида.